

**CENTRO DE OBSERVACIÓN PARA LA INGENIERÍA SÍSMICA (CEOIS)
RED NACIONAL DE ACELERÓGRAFOS DEL CISMID-FIC-UNI (REDACIS)**

INFORME

Acelerogramas del Sismo de Chuschi, Cangallo - Ayacucho del 28 de abril de 2026

El 28 de abril de 2026 a las 02:54:14 (hora local), ocurrió un sismo con epicentro a 50 km al O de Chuschi, Cangallo - Ayacucho (Fuente: IGP). Las características sísmicas del evento se resumen en la **Tabla 1** y la ubicación del epicentro, así como de la(s) estación(es) acelerográfica(s), se muestra en la **Figura 1**.

Tabla 1: Datos sísmicos (Fuente: IGP)

Hora local (UTC-5):	02:54:14
Hora UTC 0:	07:54:14
Latitud (°):	-13.6
Longitud (°):	-74.81
Profundidad (km):	104.0
Magnitud:	M4.0
Lugar de referencia:	50 km al O de Chuschi, Cangallo - Ayacucho

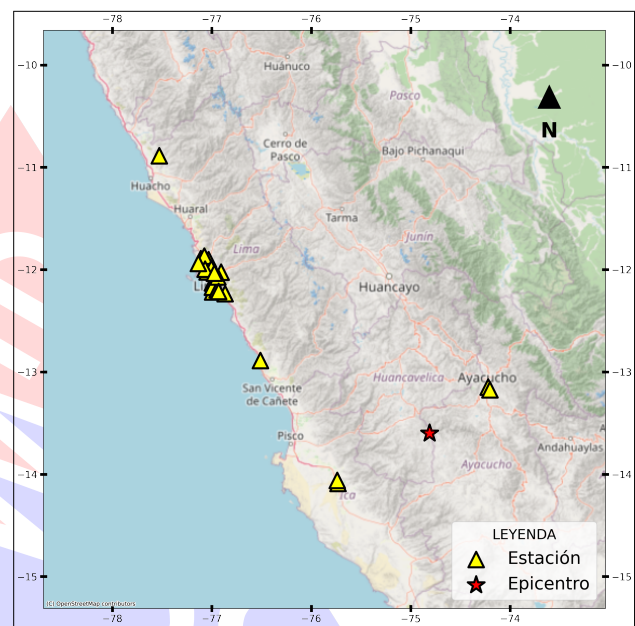


Figura 1: Ubicación del epicentro y estación(es) acelerográfica(s)

En este informe, el Centro de Observación para la Ingeniería Sísmica (CEOIS) del CISMID-FIC-UNI presenta los registros acelerográficos obtenidos en 25 estaciones en total, 17 de los cuales corresponden a la Red Nacional de Acelerógrafos del CISMID-FIC-UNI (REDACIS), 06 a la Red Acelerográfica del Centro de Investigación en Transformación Digital en Ingeniería (CITDI) - Unidad de Posgrado de la FIC-UNI y 02 en convenio con el Servicio Nacional de Capacitación para la Industria de la Construcción (SENCICO). Los valores de aceleración máxima (PGA) para cada componente (direcciones EO, NS y vertical) y ubicaciones geográficas, se muestran en la **Tabla 2** y **Figuras 2** y **3**, respectivamente.

El máximo valor de PGA registrado para este evento es de 0.74 cm/s^2 en la dirección NS, correspondiente a la estación SCICA (Gerencia Zonal SENCICO, Ica, Ica). En el Anexo adjunto se presentan las gráficas de los acelerogramas obtenidos, así como sus respectivos espectros de Fourier y de respuesta de aceleraciones absolutas para 5% de amortiguamiento elástico. Cabe mencionar que todos los registros han sido filtrados usando un pasa banda entre 0.04 s y 10 s y corregidos por línea base. Los registros sin filtrar están disponibles para su descarga en <https://www.cismid.uni.edu.pe/ceois/redacis/red/>.



Tabla 2: Aceleraciones máximas registradas en la(s) estación(es) acelerográfica(s) correspondiente(s) al sismo de Chuschi, Cangallo - Ayacucho del 28 de abril de 2026 a las 02:54:14 (hora local)

Red	Código	Ubicación	Dist. Epi. (km)	Canal	PGA (cm/s ²)
SC	SCICA	Gerencia Zonal SENCICO, Ica, Ica	115.19	EO	-0.69
				NS	0.74
				UD	0.56
PG	UNICA	Universidad Nacional San Luis Gonzaga de Ica, Ica, Ica	116.05	EO	0.69
				NS	0.67
				UD	-0.45
PG	ASIA	Habilitación Vacacional Playa La Encontrada Asia, Cañete, Lima	205.10	EO	0.40
				NS	0.50
				UD	-0.35
CM	CARAB	Estadio Ricardo Palma, Carabayllo, Lima	311.22	EO	-0.29
				NS	0.43
				UD	0.48
SC	SCAYA	Gerencia Zonal SENCICO, Ayacucho, Ayacucho	82.32	EO	0.33
				NS	0.23
				UD	0.43
PG	UNTEL	Universidad Nacional Tecnológica de Lima Sur, Villa el Salvador, Lima	281.90	EO	-0.31
				NS	0.33
				UD	0.25
CM	SJLSC	Complejo Deportivo San Carlos, San Juan de Lurigancho, Lima	302.90	EO	0.22
				NS	0.33
				UD	0.20
CM	JOSEO	Complejo Deportivo José Olaya, Independencia, Lima	307.20	EO	0.27
				NS	-0.29
				UD	-0.15
CM	INDEP	Municipalidad Distrital de Independencia, Independencia, Lima	306.70	EO	-0.25
				NS	-0.28
				UD	0.23



UNIVERSIDAD NACIONAL DE INGENIERÍA
FACULTAD DE INGENIERÍA CIVIL
CENTRO PERUANO JAPONÉS DE INVESTIGACIONES
SÍSMICAS Y MITIGACIÓN DE DESASTRES



CM	AMORE	Institución Educativa 5090 Antonia Moreno de Cáceres, Ventanilla, Callao	318.49	EO	0.28
				NS	0.22
				UD	-0.19
PG	UNSCH	Universidad Nacional de San Cristóbal de Huamanga, Huamanga, Ayacucho	82.53	EO	-0.27
				NS	0.20
				UD	0.16
CM	MDPP	Municipalidad Distrital de Puente Piedra, Puente Piedra, Lima	317.30	EO	-0.23
				NS	-0.27
				UD	0.23
CM	BRIS2	Urbanización Las Brisas de Villa, Chorillos, Lima	287.36	EO	0.27
				NS	0.20
				UD	-0.10
CM	SOVES	Colegio Saco Oliveros de Villa El Salvador, Villa El Salvador, Lima	284.52	EO	-0.25
				NS	0.24
				UD	0.22
CM	UCVAT	Universidad César Vallejo - Ate, Ate, Lima	291.74	EO	-0.23
				NS	-0.18
				UD	-0.18
PG	ATARJ	Planta de Tratamiento de Agua La Atarjea, El Agustino, Lima	297.16	EO	-0.23
				NS	0.17
				UD	-0.07
CM	SOCHO	Colegio Saco Oliveros de Chorrillos, Chorrillos, Lima	290.36	EO	0.16
				NS	-0.19
				UD	0.14
CM	USILP	Universidad San Ignacio de Loyola - Campus Pachacámac, Pachacámac, Lima	274.51	EO	0.16
				NS	-0.12
				UD	0.10
CM	SERVI	ServiUNI - SERVI, Surco, Lima	292.83	EO	0.11
				NS	0.13
				UD	0.07
CM	IMCA	Instituto de Matemática y Ciencias Afines, La Molina, Lima	292.99	EO	0.13
				NS	0.10
				UD	0.11



UNIVERSIDAD NACIONAL DE INGENIERÍA
FACULTAD DE INGENIERÍA CIVIL
CENTRO PERUANO JAPONÉS DE INVESTIGACIONES
SÍSMICAS Y MITIGACIÓN DE DESASTRES



CM	VHAYA	Institución Educativa 5130-3 Víctor Raúl Haya de la Torre, Ventanilla, Callao	317.86	EO	-0.13
				NS	-0.12
				UD	0.09
CM	USMP	Universidad San Martín de Porres - Facultad de Ingeniería y Arquitectura, La Molina, Lima	291.63	EO	-0.12
				NS	-0.12
				UD	-0.10
CM	FICPE	Universidad Nacional de Ingeniería - Facultad de Ingeniería Civil, Rímac, Lima	304.57	EO	-0.12
				NS	0.10
				UD	-0.07
CM	UCSS	Universidad Católica Sedes Sapientiae, Los Olivos, Lima	307.99	EO	-0.07
				NS	0.07
				UD	-0.06
PG	CARAL	Zona Arqueológica Caral, Supe, Lima	427.13	EO	-0.07
				NS	0.07
				UD	0.06

Nota: CM (Red Nacional de Acelerógrafos del CISMID-FIC-UNI), SC (Red SENCICO) y PG (Red Acelerográfica del Centro de Investigación en Transformación Digital en Ingeniería - Unidad de Posgrado de la FIC-UNI).



ANEXO

REGISTROS TIEMPO-HISTORIA
ESPECTROS DE FOURIER Y DE RESPUESTA

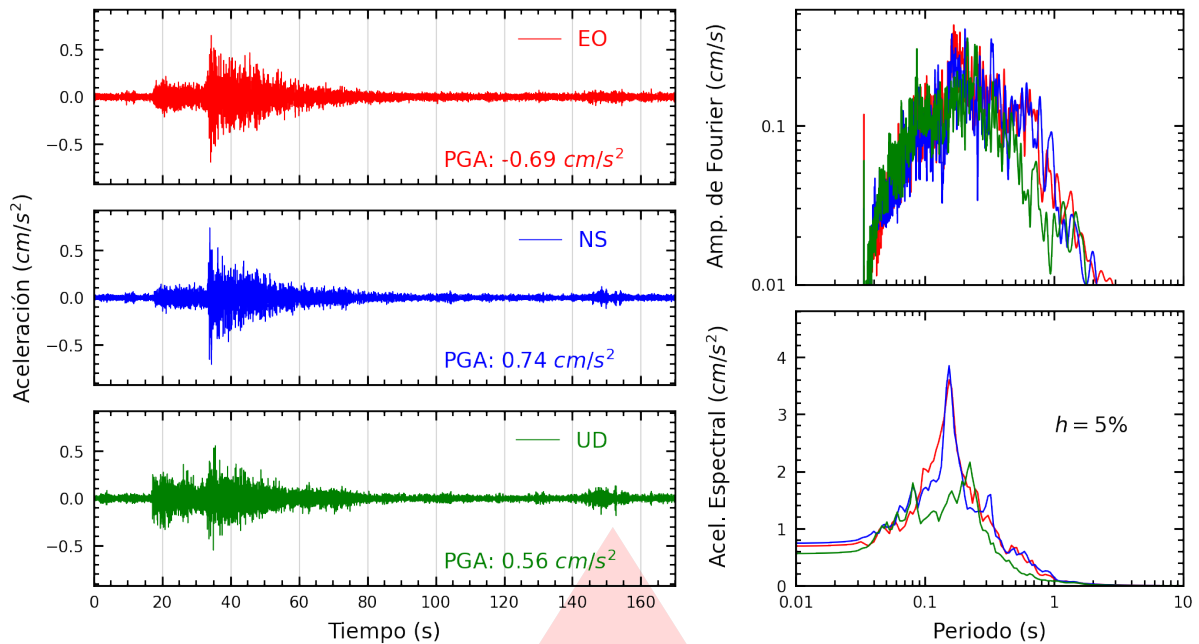


Figura A.1: Registros tiempo-historia, espectros de Fourier y de respuesta en las direcciones EO, NS y vertical de la estación SCICA. Sismo de Chuschi, Cangallo - Ayacucho del 2026-04-28, 02:54:14 (Hora local)

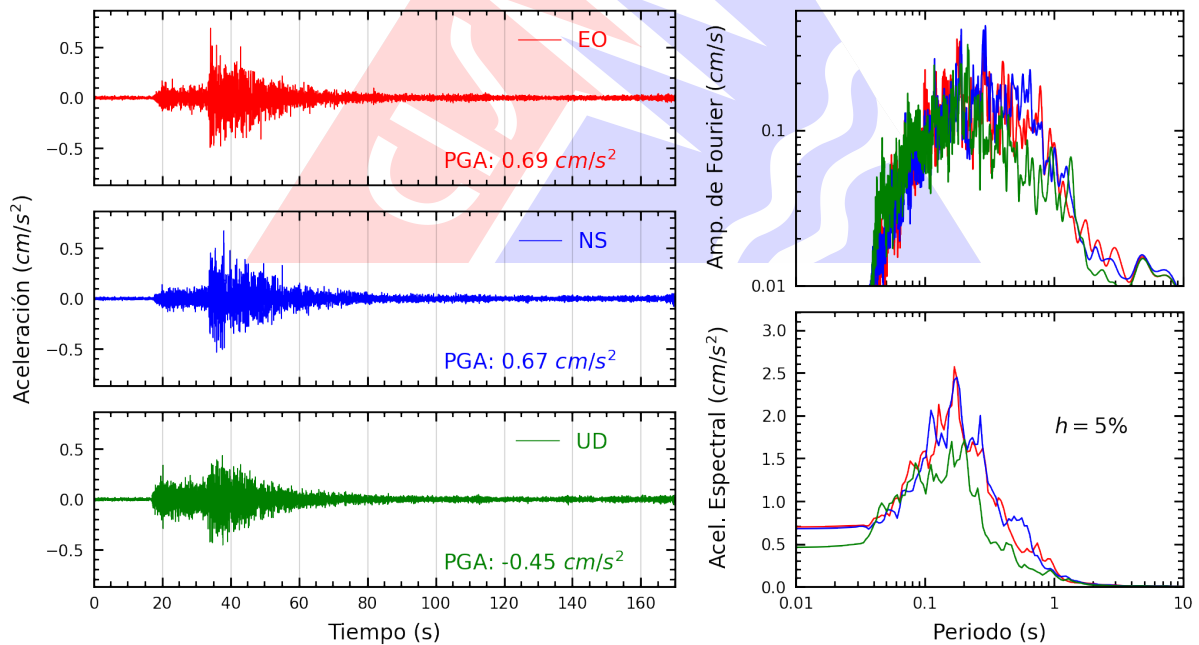


Figura A.2: Registros tiempo-historia, espectros de Fourier y de respuesta en las direcciones EO, NS y vertical de la estación UNICA. Sismo de Chuschi, Cangallo - Ayacucho del 2026-04-28, 02:54:14 (Hora local)

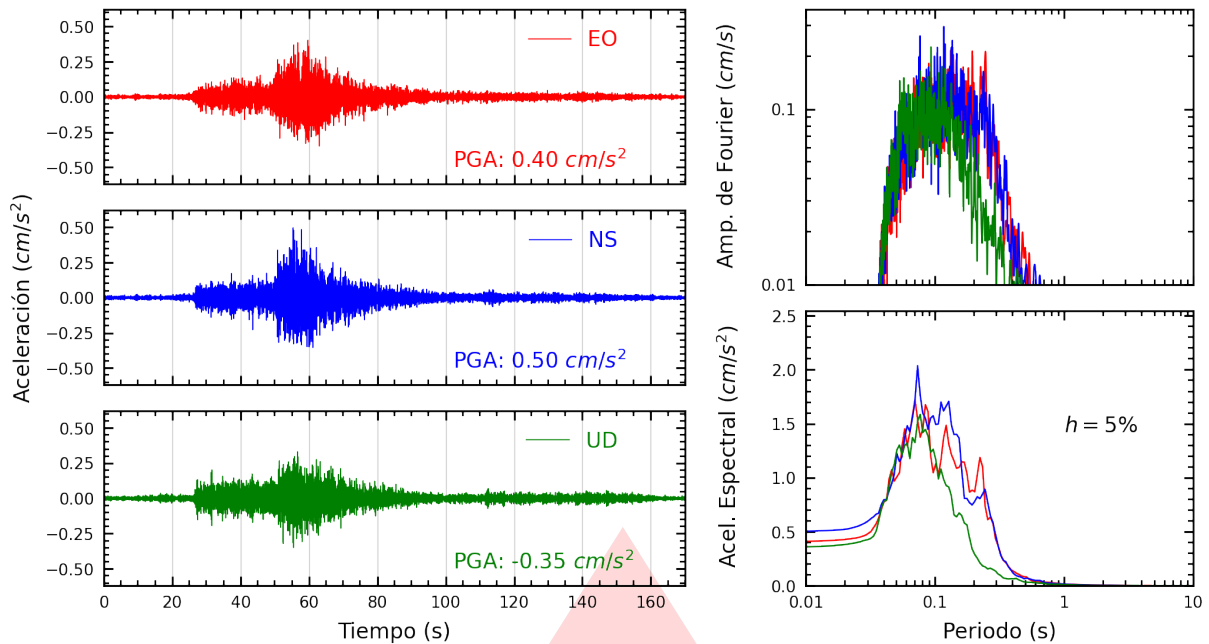


Figura A.3: Registros tiempo-historia, espectros de Fourier y de respuesta en las direcciones EO, NS y vertical de la estación ASIA. Sismo de Chuschi, Cangallo - Ayacucho del 2026-04-28, 02:54:14 (Hora local)

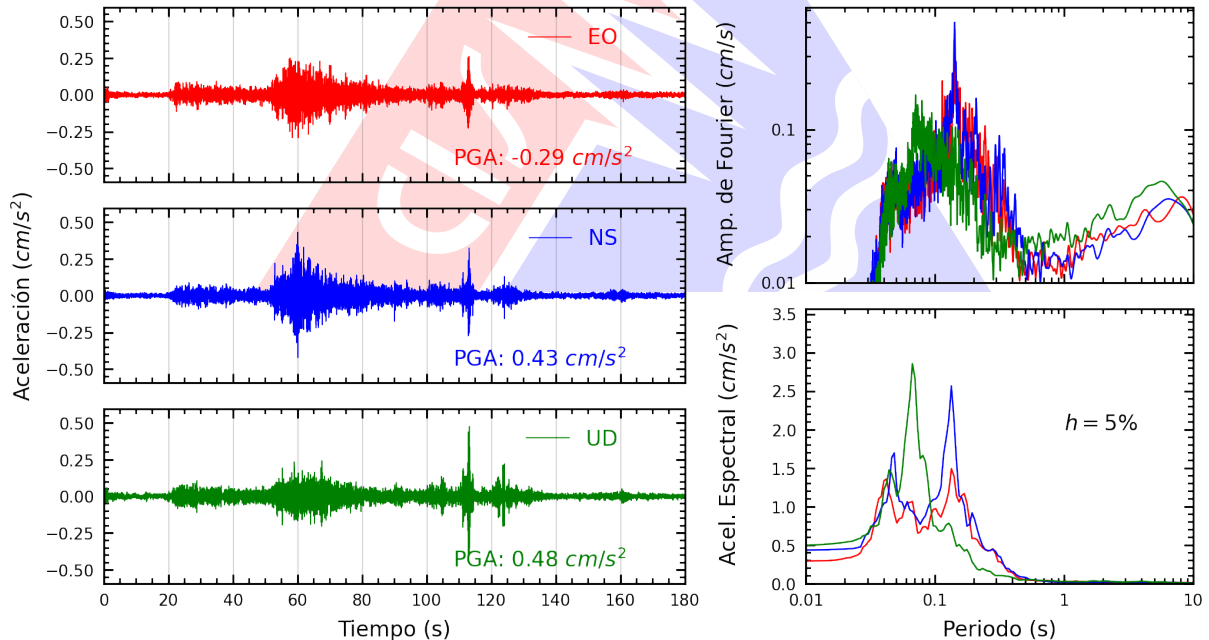


Figura A.4: Registros tiempo-historia, espectros de Fourier y de respuesta en las direcciones EO, NS y vertical de la estación CARAB. Sismo de Chuschi, Cangallo - Ayacucho del 2026-04-28, 02:54:14 (Hora local)

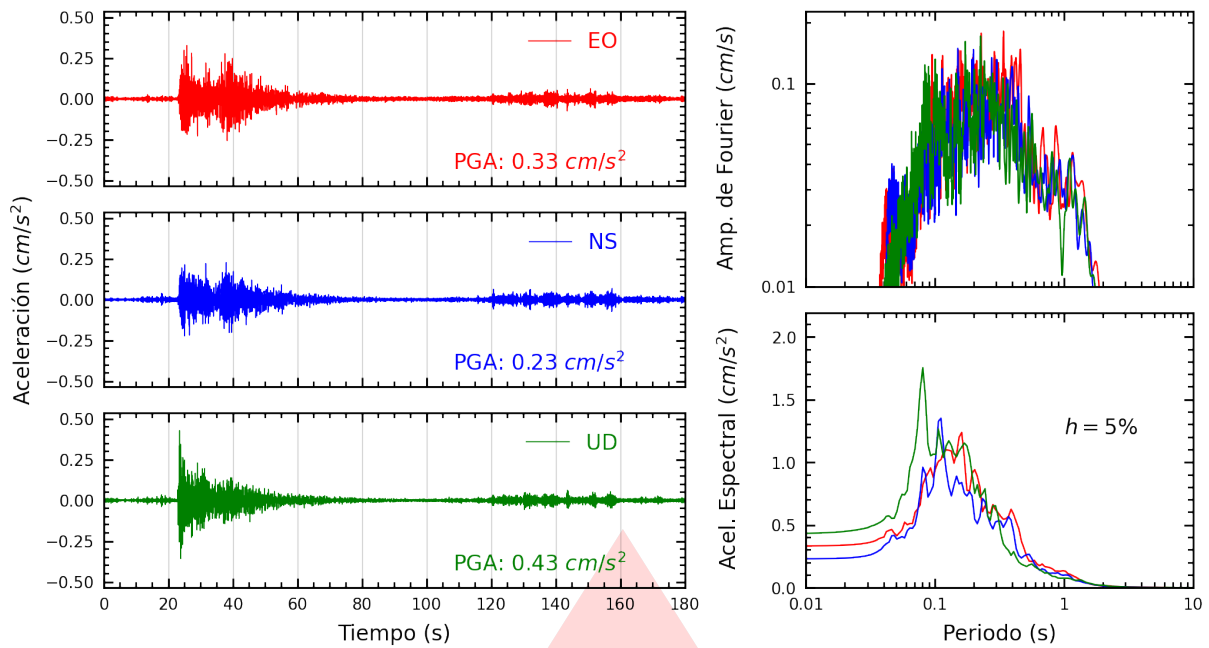


Figura A.5: Registros tiempo-historia, espectros de Fourier y de respuesta en las direcciones EO, NS y vertical de la estación SCAYA. Sismo de Chuschi, Cangallo - Ayacucho del 2026-04-28, 02:54:14 (Hora local)

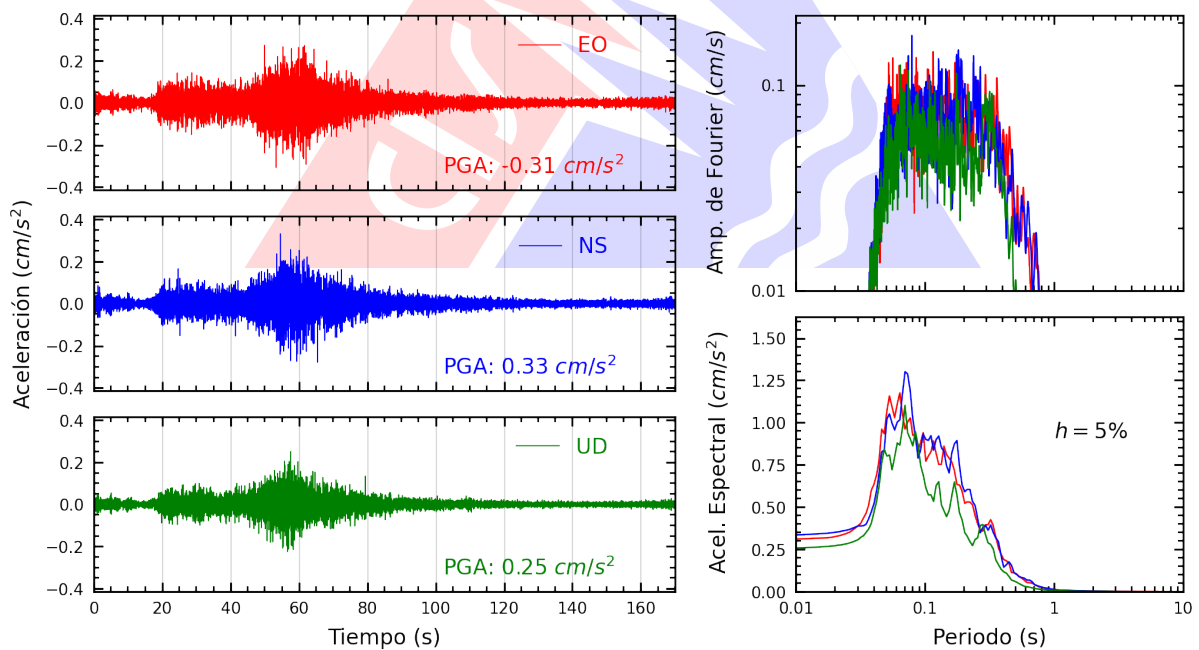


Figura A.6: Registros tiempo-historia, espectros de Fourier y de respuesta en las direcciones EO, NS y vertical de la estación UNTEL. Sismo de Chuschi, Cangallo - Ayacucho del 2026-04-28, 02:54:14 (Hora local)

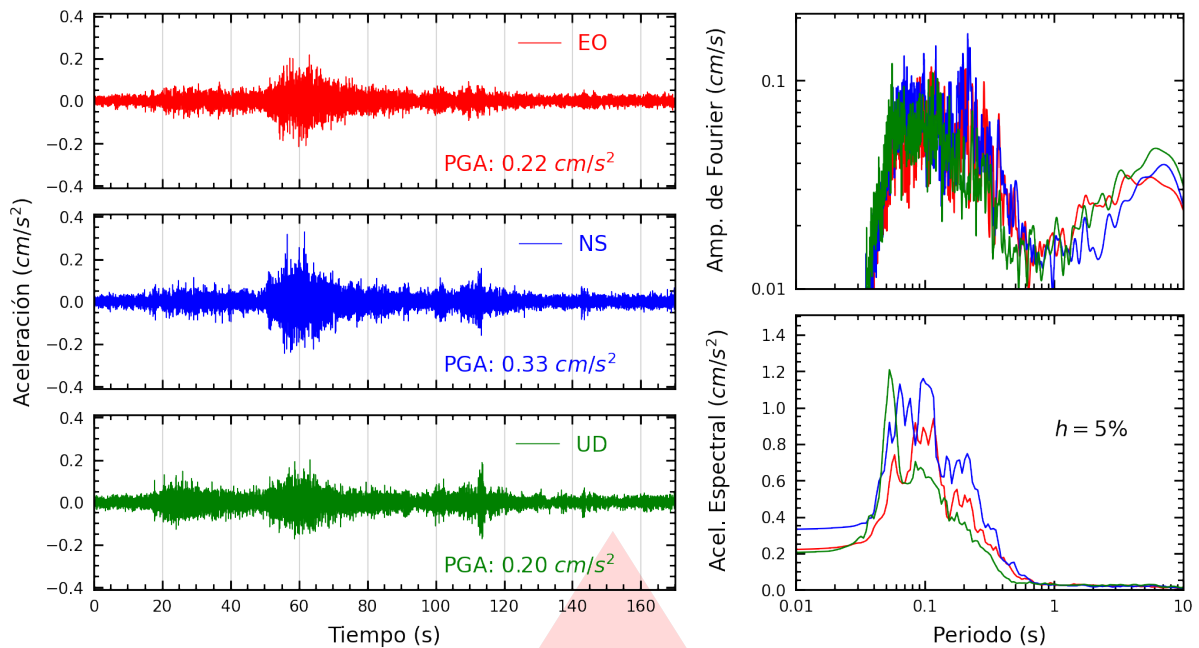


Figura A.7: Registros tiempo-historia, espectros de Fourier y de respuesta en las direcciones EO, NS y vertical de la estación SJLSC. Sismo de Chuschi, Cangallo - Ayacucho del 2026-04-28, 02:54:14 (Hora local)

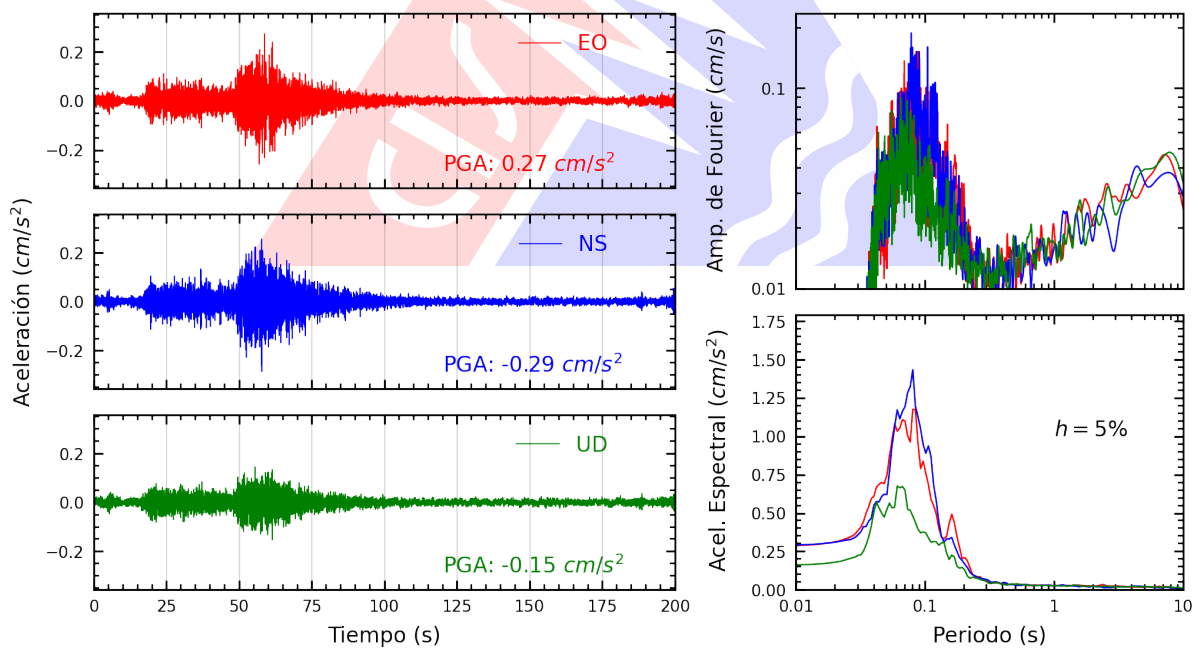


Figura A.8: Registros tiempo-historia, espectros de Fourier y de respuesta en las direcciones EO, NS y vertical de la estación JOSEO. Sismo de Chuschi, Cangallo - Ayacucho del 2026-04-28, 02:54:14 (Hora local)

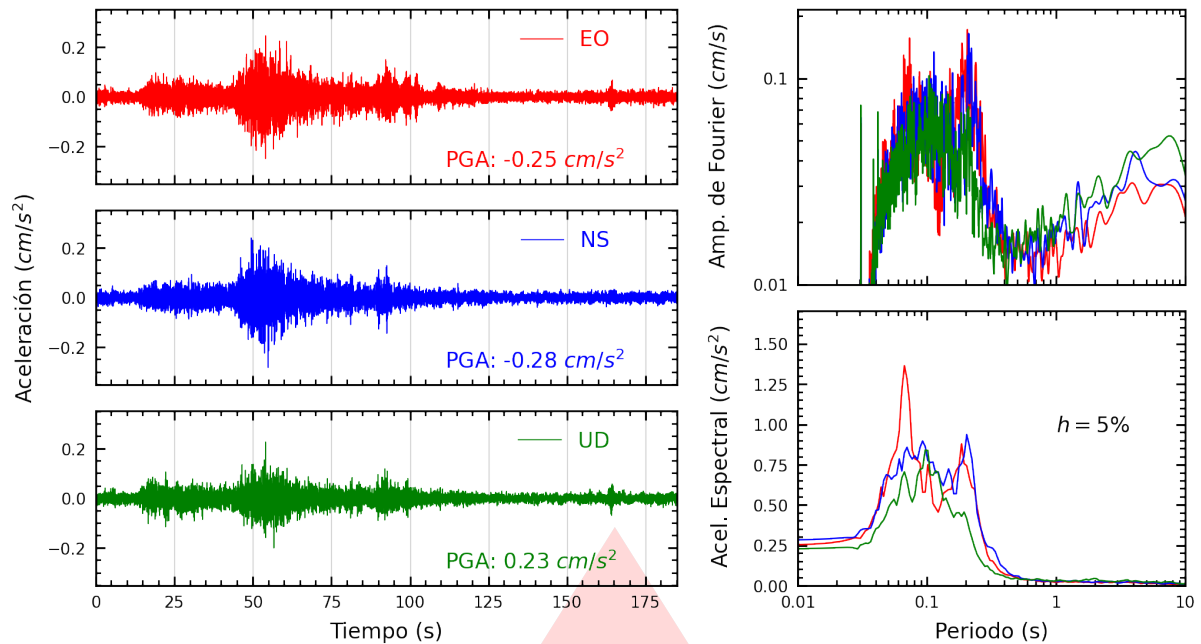


Figura A.9: Registros tiempo-historia, espectros de Fourier y de respuesta en las direcciones EO, NS y vertical de la estación INDEP. Sismo de Chuschi, Cangallo - Ayacucho del 2026-04-28, 02:54:14 (Hora local)

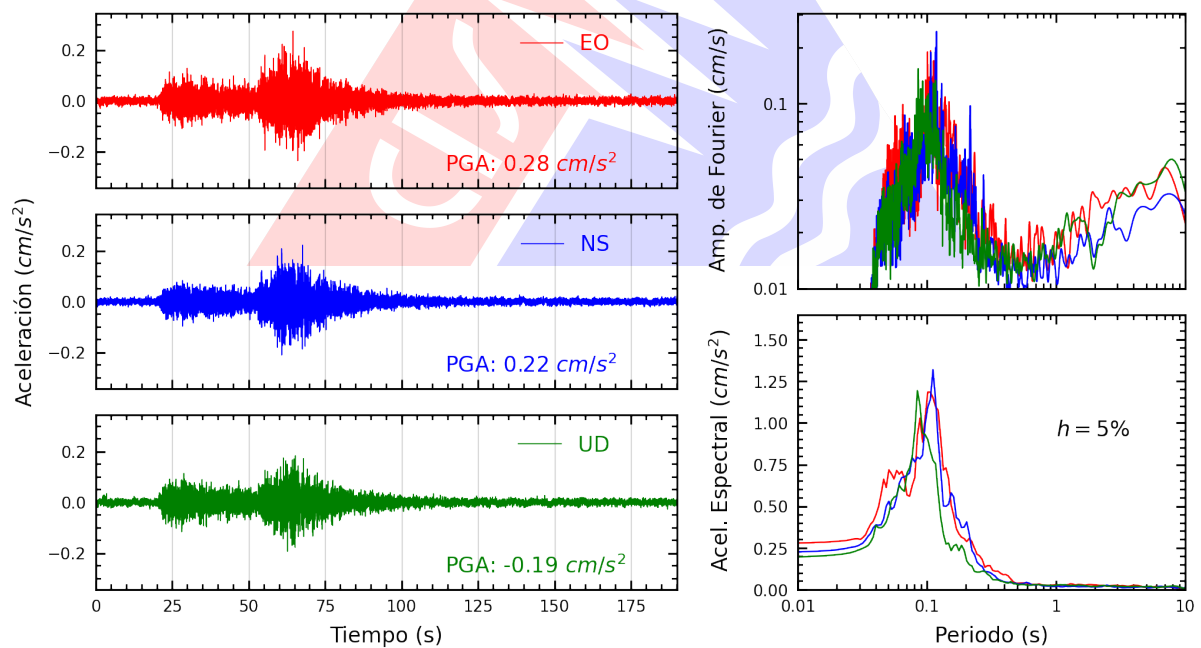


Figura A.10: Registros tiempo-historia, espectros de Fourier y de respuesta en las direcciones EO, NS y vertical de la estación AMORE. Sismo de Chuschi, Cangallo - Ayacucho del 2026-04-28, 02:54:14 (Hora local)

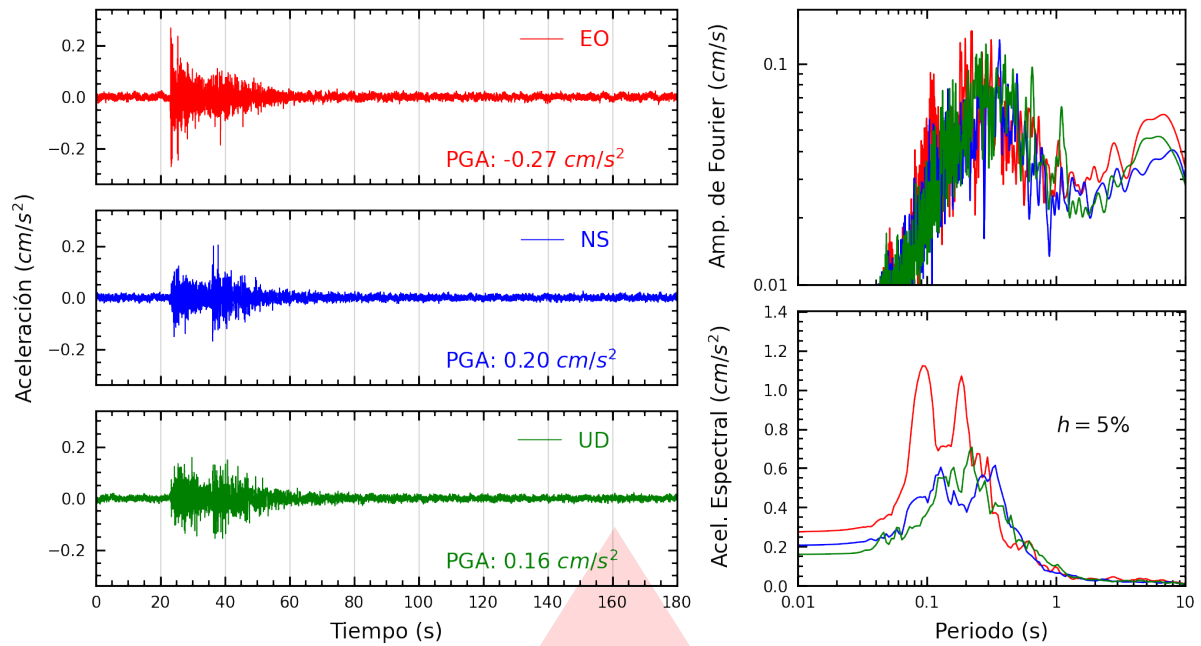


Figura A.11: Registros tiempo-historia, espectros de Fourier y de respuesta en las direcciones EO, NS y vertical de la estación UNSCH. Sismo de Chuschi, Cangallo - Ayacucho del 2026-04-28, 02:54:14 (Hora local)

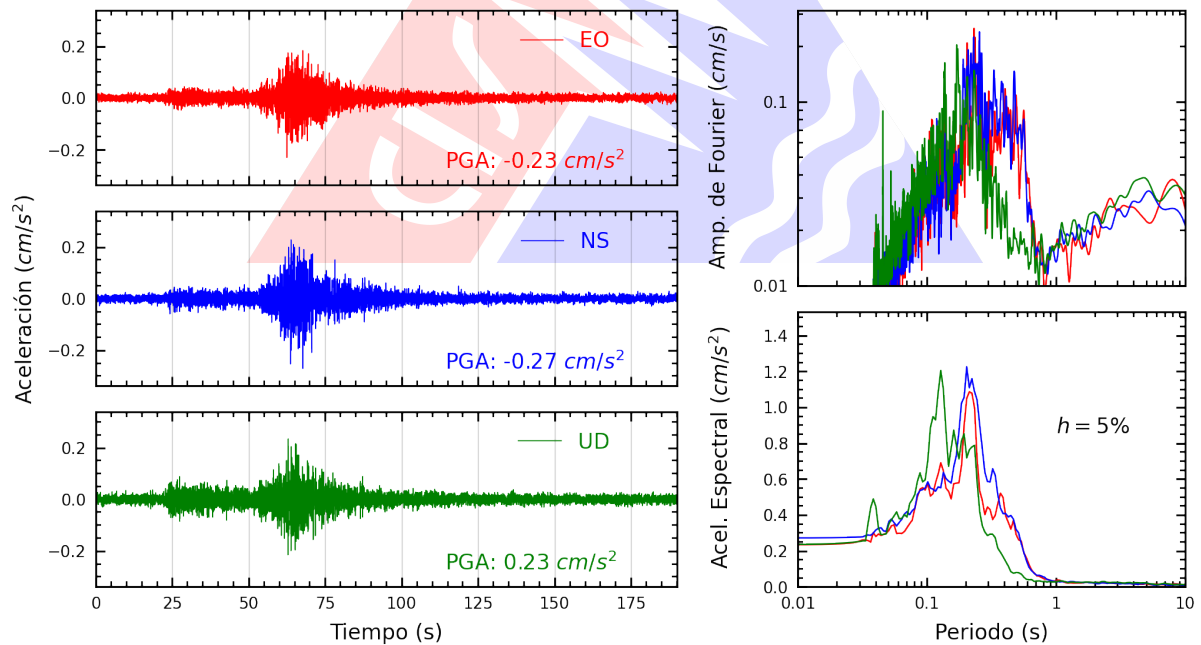


Figura A.12: Registros tiempo-historia, espectros de Fourier y de respuesta en las direcciones EO, NS y vertical de la estación MDPP. Sismo de Chuschi, Cangallo - Ayacucho del 2026-04-28, 02:54:14 (Hora local)

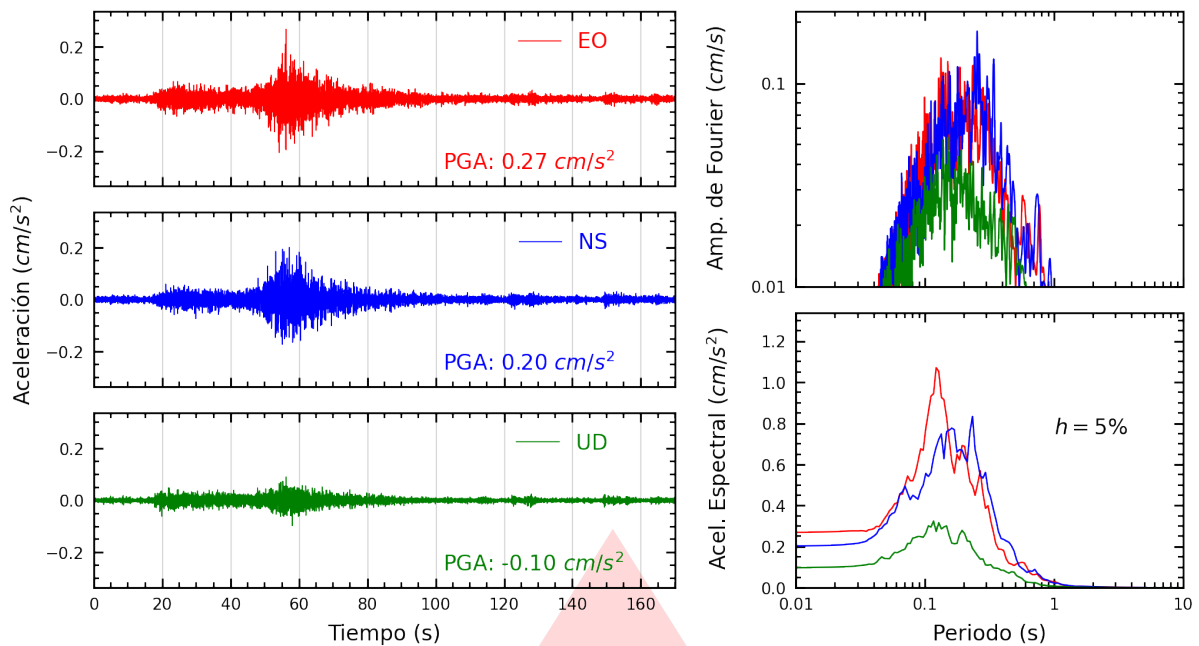


Figura A.13: Registros tiempo-historia, espectros de Fourier y de respuesta en las direcciones EO, NS y vertical de la estación BRIS2. Sismo de Chuschi, Cangallo - Ayacucho del 2026-04-28, 02:54:14 (Hora local)

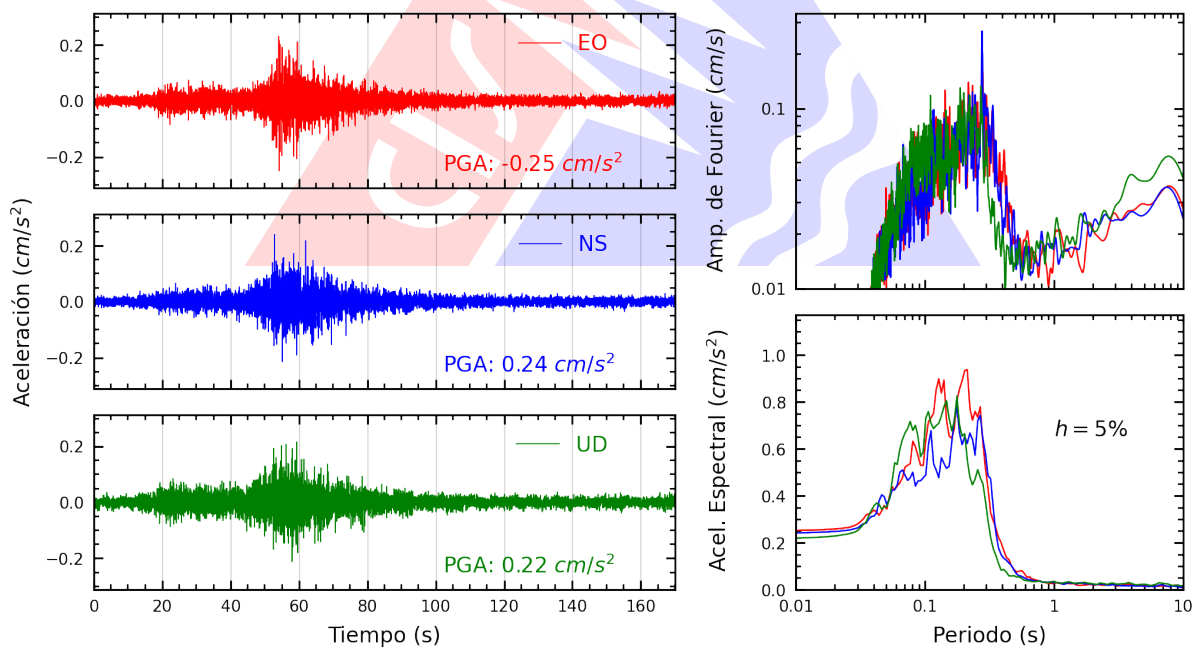


Figura A.14: Registros tiempo-historia, espectros de Fourier y de respuesta en las direcciones EO, NS y vertical de la estación SOVES. Sismo de Chuschi, Cangallo - Ayacucho del 2026-04-28, 02:54:14 (Hora local)

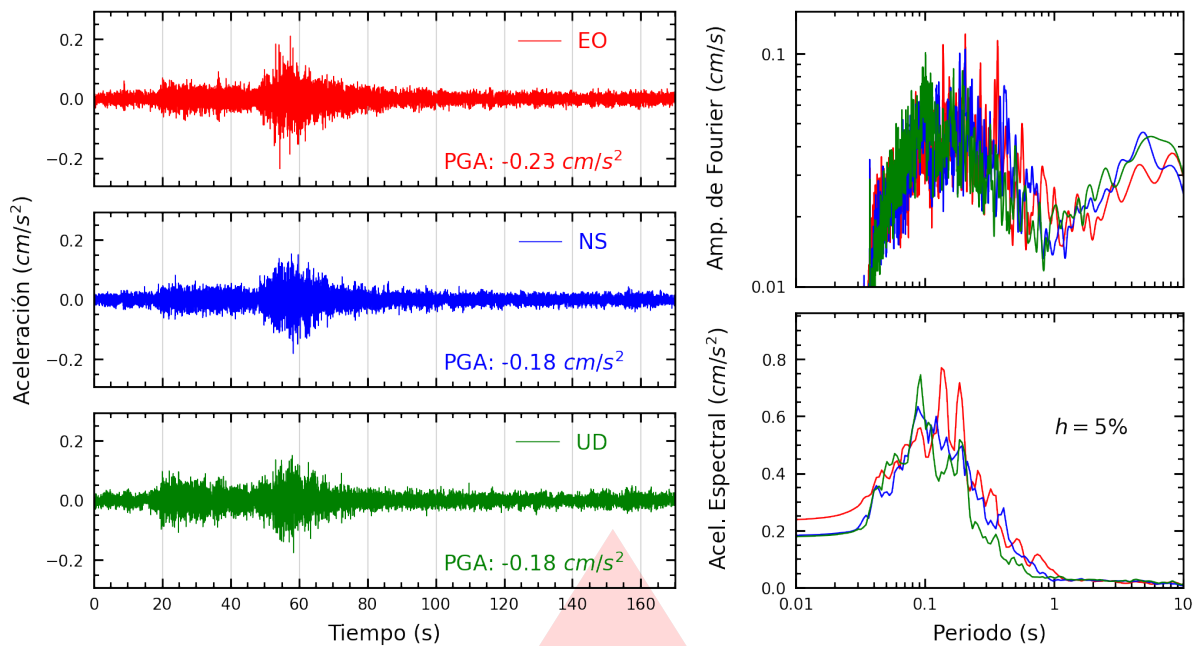


Figura A.15: Registros tiempo-historia, espectros de Fourier y de respuesta en las direcciones EO, NS y vertical de la estación UCVAT. Sismo de Chuschi, Cangallo - Ayacucho del 2026-04-28, 02:54:14 (Hora local)

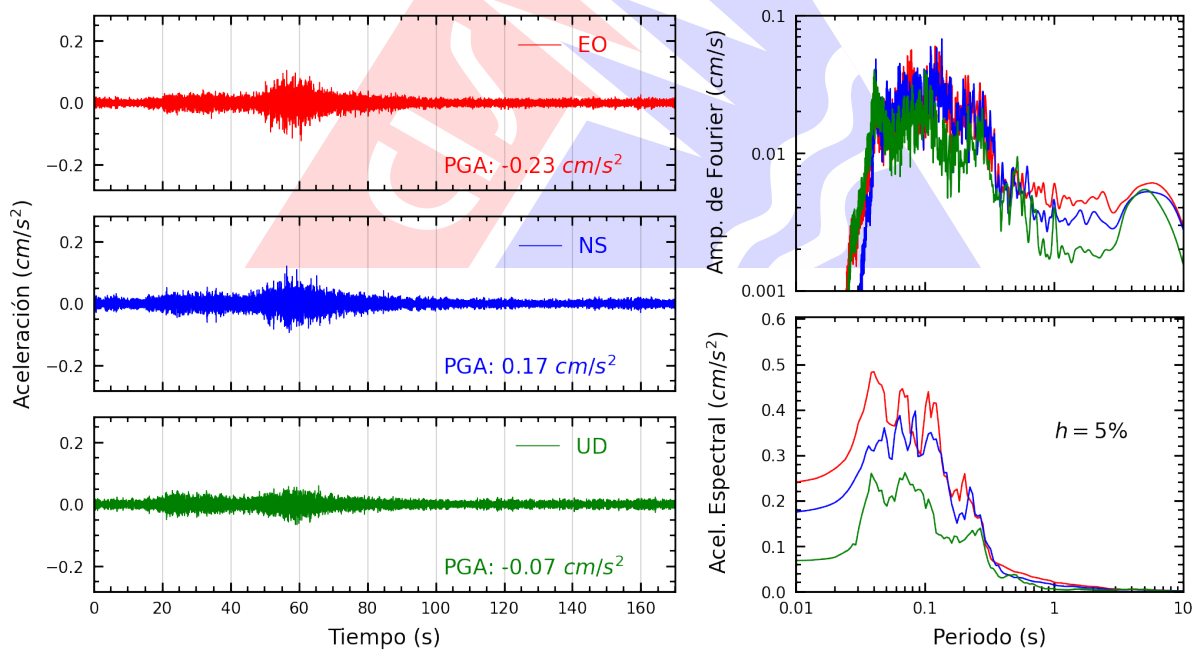


Figura A.16: Registros tiempo-historia, espectros de Fourier y de respuesta en las direcciones EO, NS y vertical de la estación ATARJ. Sismo de Chuschi, Cangallo - Ayacucho del 2026-04-28, 02:54:14 (Hora local)

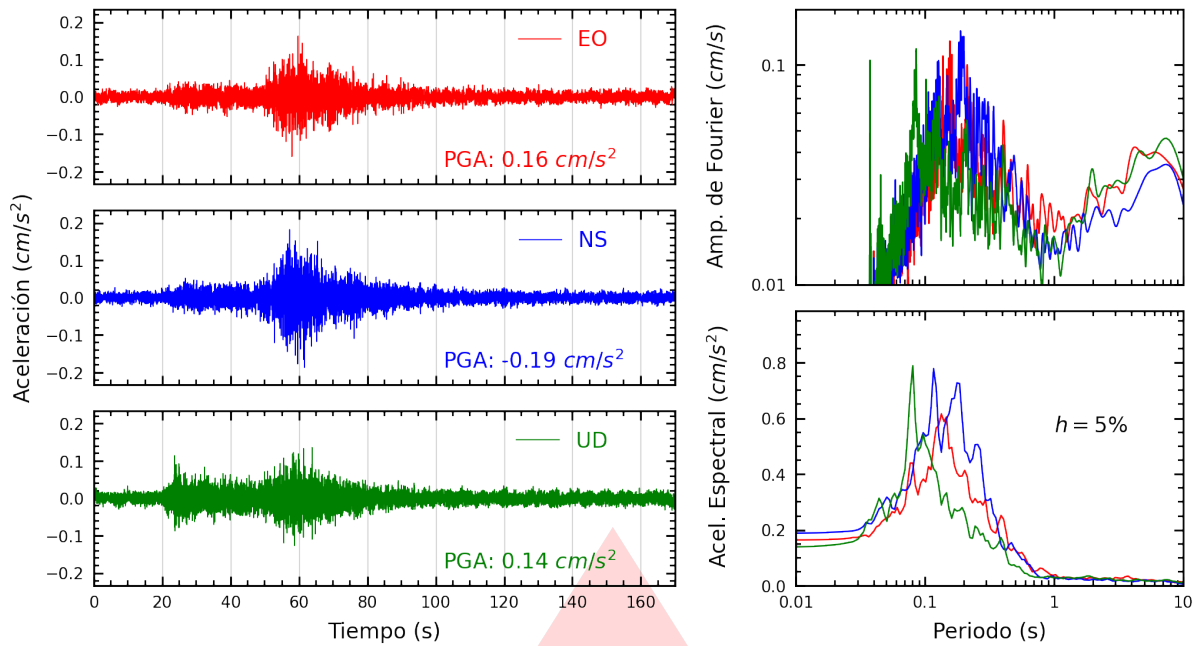


Figura A.17: Registros tiempo-historia, espectros de Fourier y de respuesta en las direcciones EO, NS y vertical de la estación SOCHO. Sismo de Chuschi, Cangallo - Ayacucho del 2026-04-28, 02:54:14 (Hora local)

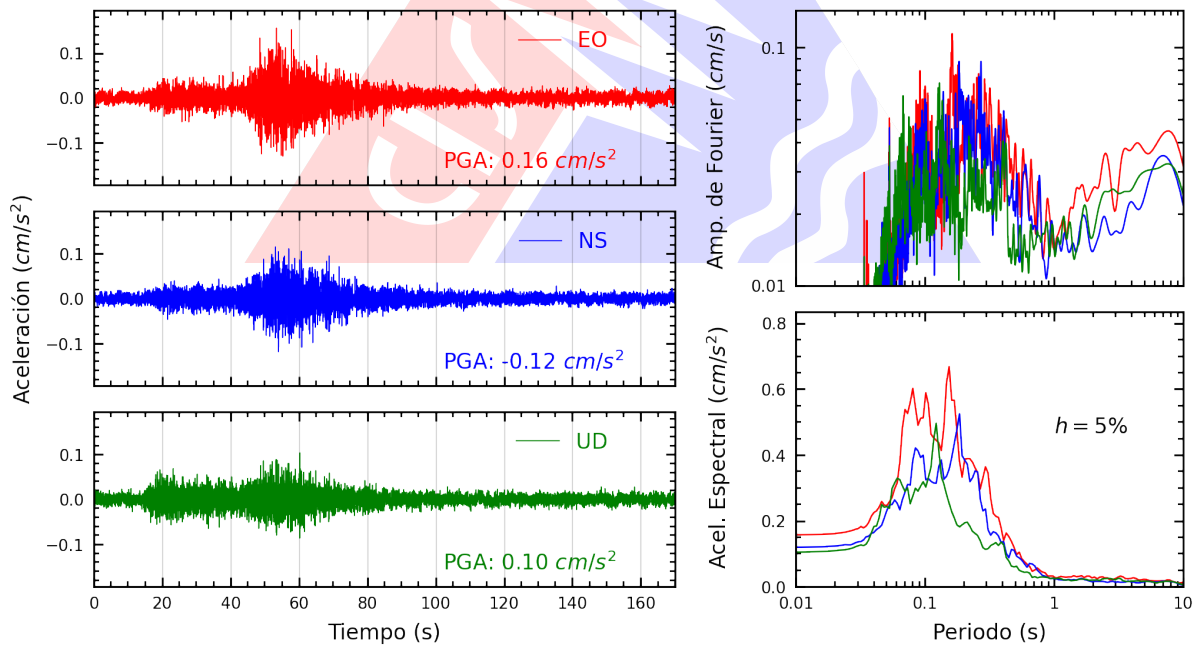


Figura A.18: Registros tiempo-historia, espectros de Fourier y de respuesta en las direcciones EO, NS y vertical de la estación USILP. Sismo de Chuschi, Cangallo - Ayacucho del 2026-04-28, 02:54:14 (Hora local)

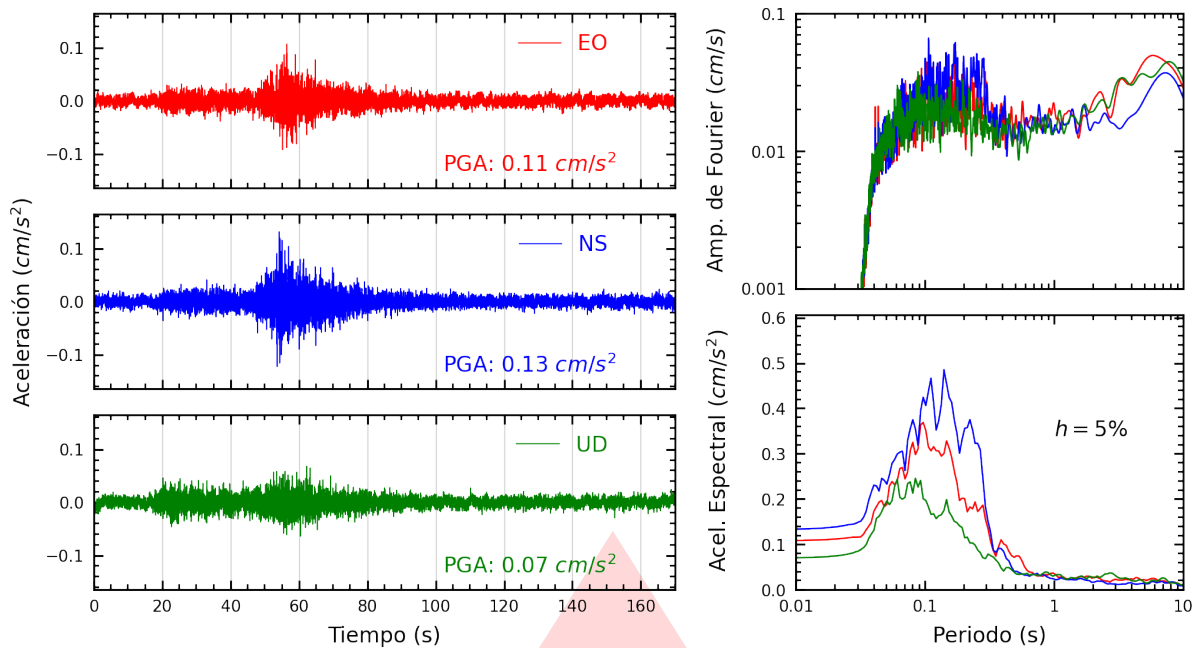


Figura A.19: Registros tiempo-historia, espectros de Fourier y de respuesta en las direcciones EO, NS y vertical de la estación SERVI. Sismo de Chuschi, Cangallo - Ayacucho del 2026-04-28, 02:54:14 (Hora local)

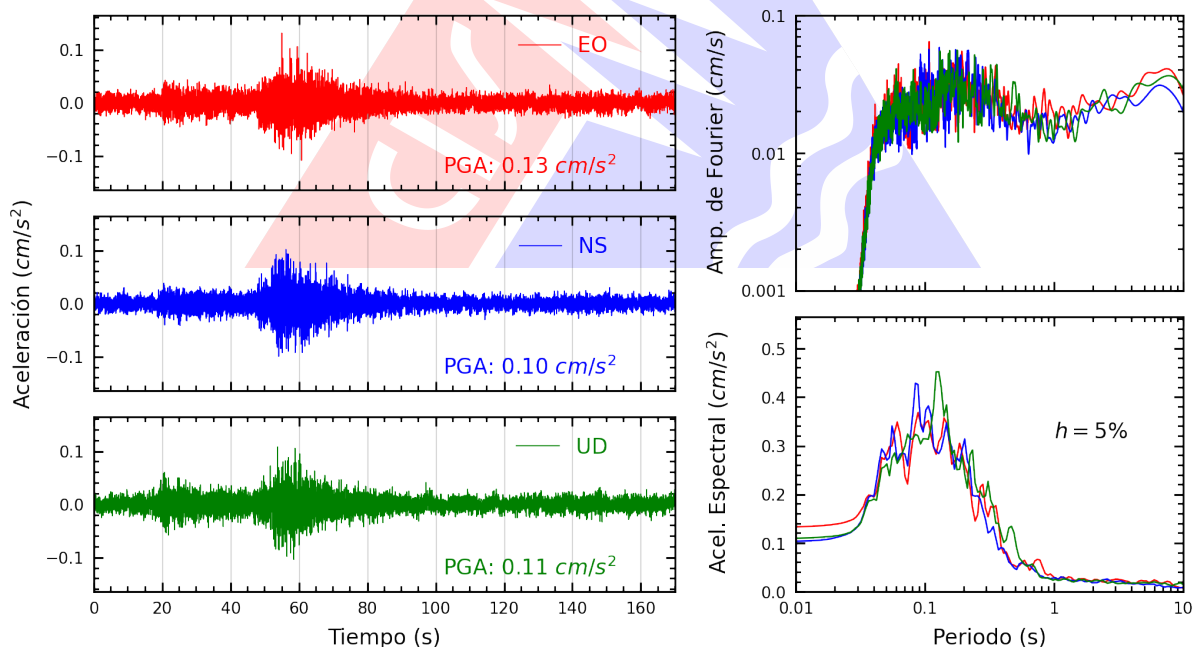


Figura A.20: Registros tiempo-historia, espectros de Fourier y de respuesta en las direcciones EO, NS y vertical de la estación IMCA. Sismo de Chuschi, Cangallo - Ayacucho del 2026-04-28, 02:54:14 (Hora local)

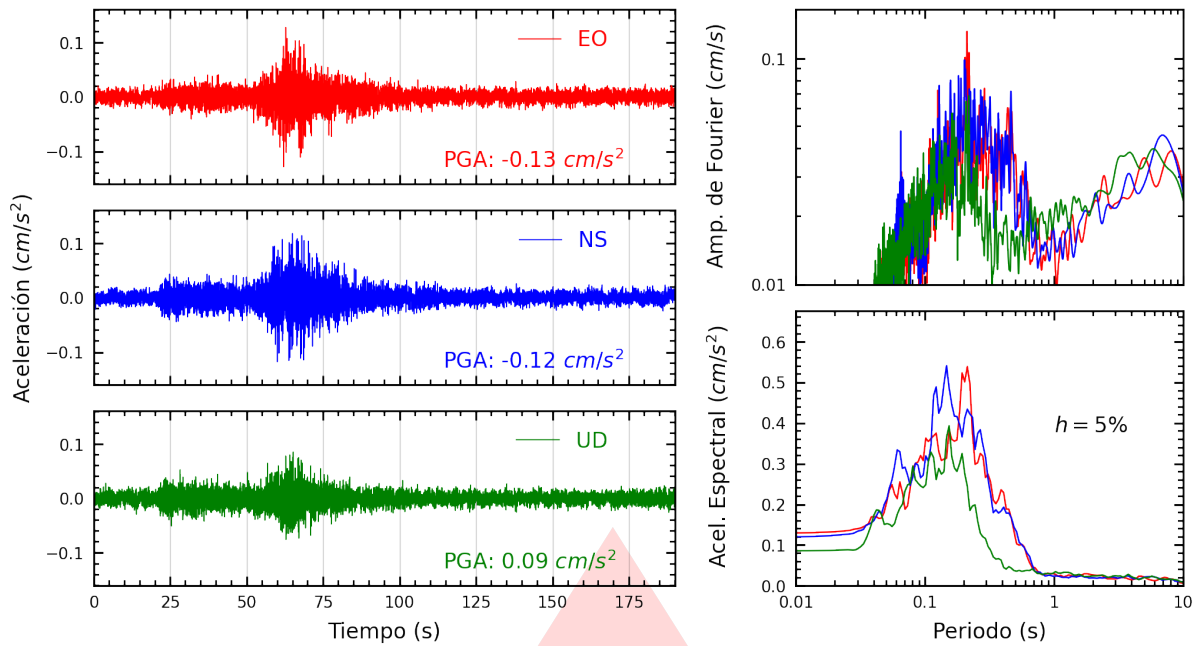


Figura A.21: Registros tiempo-historia, espectros de Fourier y de respuesta en las direcciones EO, NS y vertical de la estación VHAYA. Sismo de Chuschi, Cangallo - Ayacucho del 2026-04-28, 02:54:14 (Hora local)

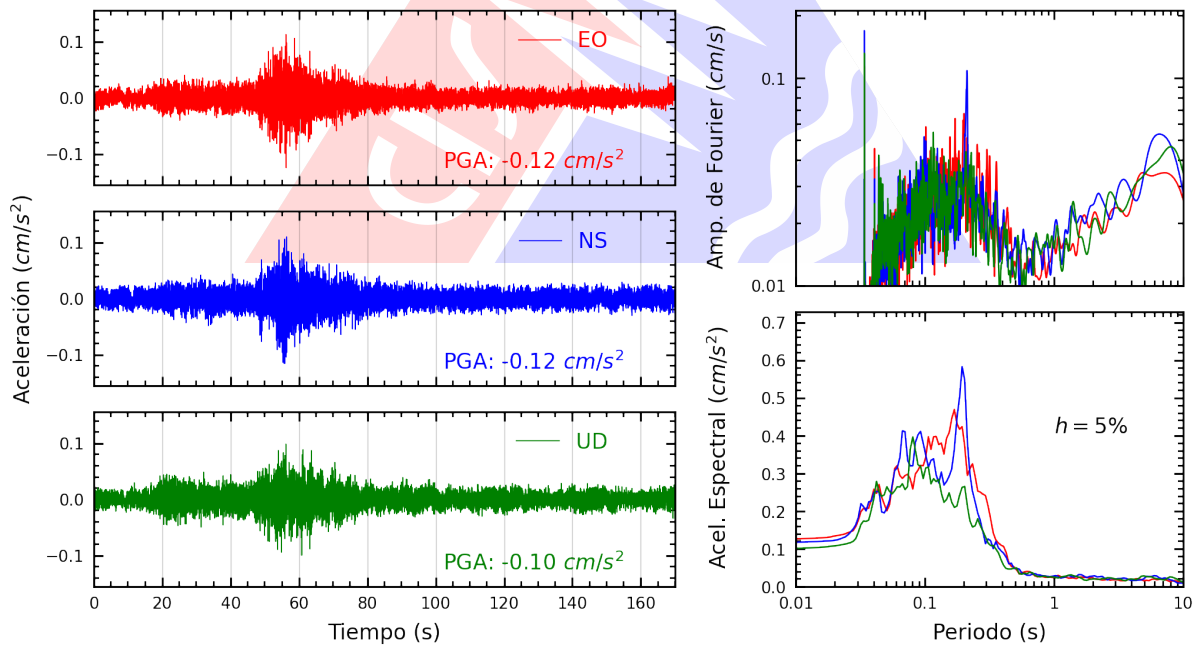


Figura A.22: Registros tiempo-historia, espectros de Fourier y de respuesta en las direcciones EO, NS y vertical de la estación USMP. Sismo de Chuschi, Cangallo - Ayacucho del 2026-04-28, 02:54:14 (Hora local)

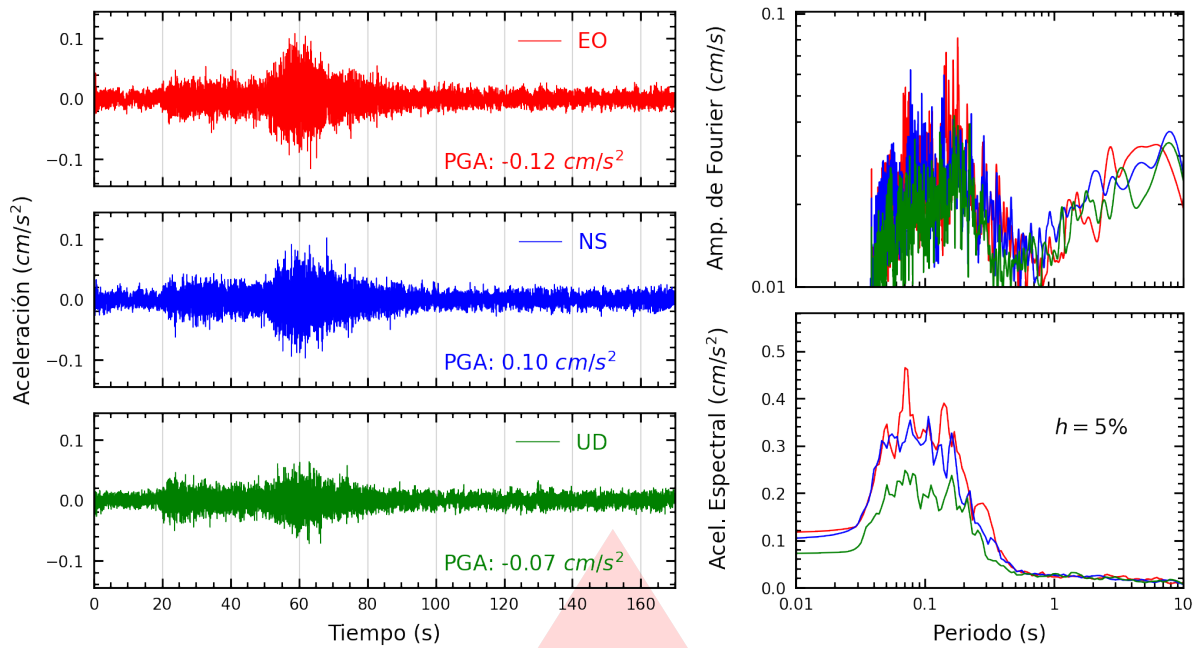


Figura A.23: Registros tiempo-historia, espectros de Fourier y de respuesta en las direcciones EO, NS y vertical de la estación FICPE. Sismo de Chuschi, Cangallo - Ayacucho del 2026-04-28, 02:54:14 (Hora local)

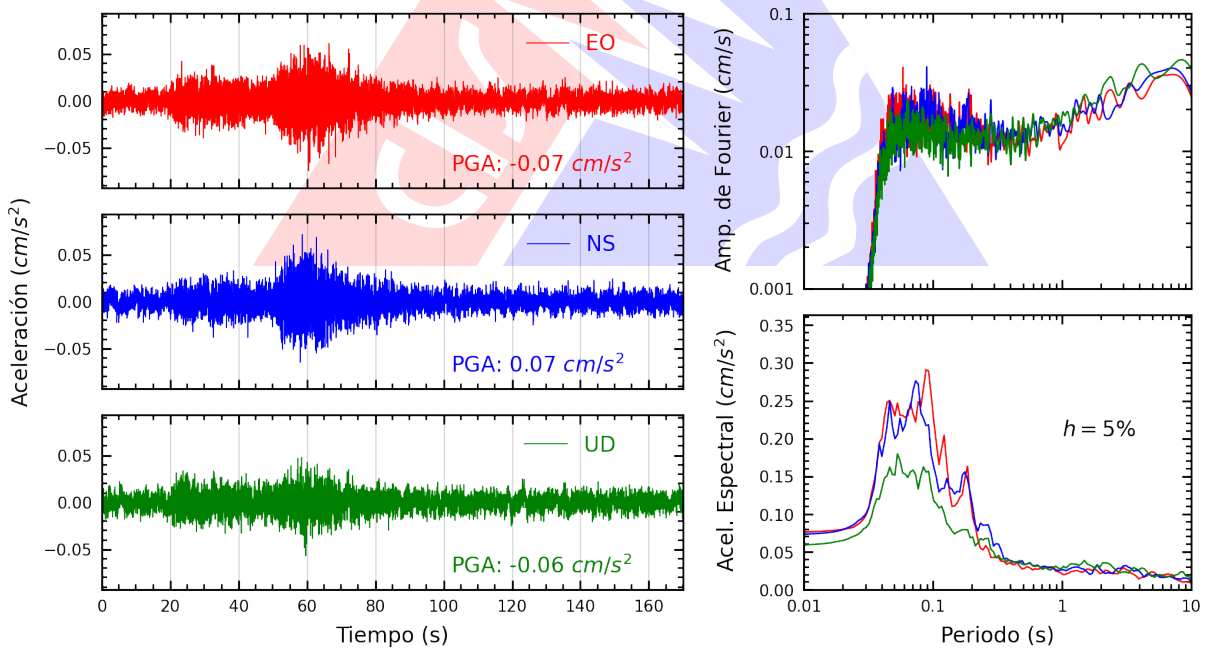


Figura A.24: Registros tiempo-historia, espectros de Fourier y de respuesta en las direcciones EO, NS y vertical de la estación UCSS. Sismo de Chuschi, Cangallo - Ayacucho del 2026-04-28, 02:54:14 (Hora local)

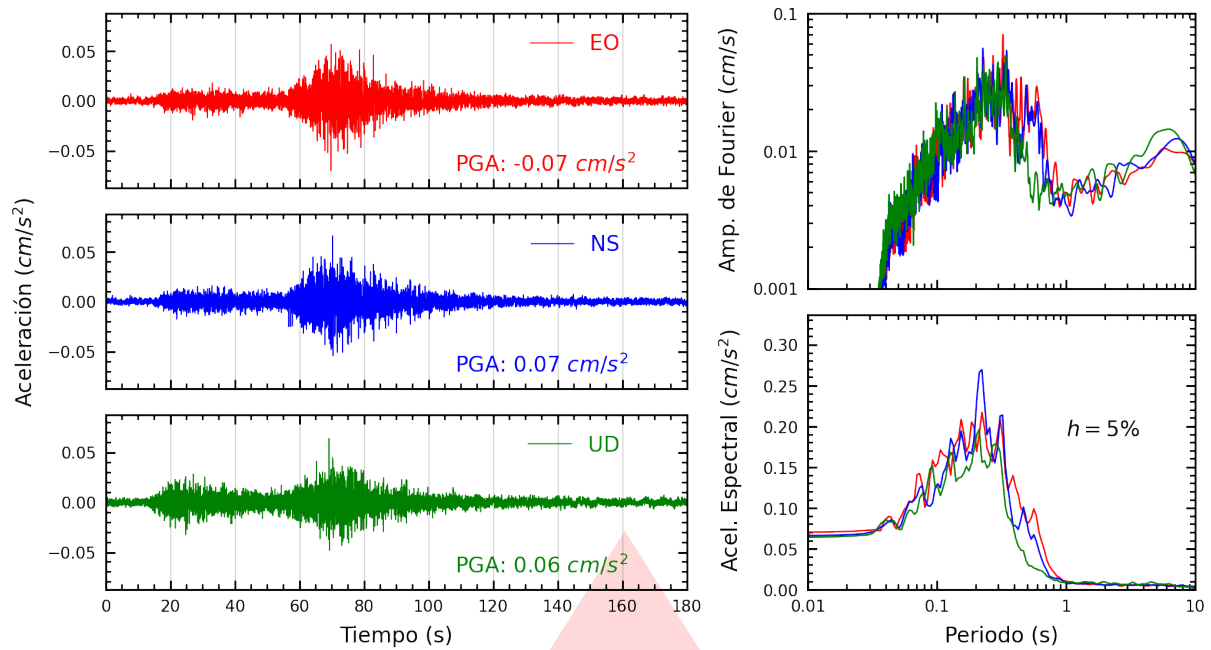


Figura A.25: Registros tiempo-historia, espectros de Fourier y de respuesta en las direcciones EO, NS y vertical de la estación CARAL. Sismo de Chuschi, Cangallo - Ayacucho del 2026-04-28, 02:54:14 (Hora local)

Índice de figuras

1.	Ubicación del epicentro y estación(es) acelerográfica(s)	1
2.	Mapa de ubicación de la(s) estación(es) acelerográfica(s) a nivel nacional correspondiente(s) al Sismo de Chuschi, Cangallo - Ayacucho del 28 de abril de 2026 a las 02:54:14 (hora local)	5
3.	Mapa de ubicación de la(s) estación(es) acelerográfica(s) en Lima Metropolitana correspondiente(s) al Sismo de Chuschi, Cangallo - Ayacucho del 28 de abril de 2026 a las 02:54:14 (hora local)	6
A.1.	Registros tiempo-historia, espectros de Fourier y de respuesta en las direcciones EO, NS y vertical de la estación SCICA. Sismo de Chuschi, Cangallo - Ayacucho del 2026-04-28, 02:54:14 (Hora local)	8
A.2.	Registros tiempo-historia, espectros de Fourier y de respuesta en las direcciones EO, NS y vertical de la estación UNICA. Sismo de Chuschi, Cangallo - Ayacucho del 2026-04-28, 02:54:14 (Hora local)	8
A.3.	Registros tiempo-historia, espectros de Fourier y de respuesta en las direcciones EO, NS y vertical de la estación ASIA. Sismo de Chuschi, Cangallo - Ayacucho del 2026-04-28, 02:54:14 (Hora local)	9
A.4.	Registros tiempo-historia, espectros de Fourier y de respuesta en las direcciones EO, NS y vertical de la estación CARAB. Sismo de Chuschi, Cangallo - Ayacucho del 2026-04-28, 02:54:14 (Hora local)	9
A.5.	Registros tiempo-historia, espectros de Fourier y de respuesta en las direcciones EO, NS y vertical de la estación SCAYA. Sismo de Chuschi, Cangallo - Ayacucho del 2026-04-28, 02:54:14 (Hora local)	10
A.6.	Registros tiempo-historia, espectros de Fourier y de respuesta en las direcciones EO, NS y vertical de la estación UNTEL. Sismo de Chuschi, Cangallo - Ayacucho del 2026-04-28, 02:54:14 (Hora local)	10
A.7.	Registros tiempo-historia, espectros de Fourier y de respuesta en las direcciones EO, NS y vertical de la estación SJLSC. Sismo de Chuschi, Cangallo - Ayacucho del 2026-04-28, 02:54:14 (Hora local)	11
A.8.	Registros tiempo-historia, espectros de Fourier y de respuesta en las direcciones EO, NS y vertical de la estación JOSEO. Sismo de Chuschi, Cangallo - Ayacucho del 2026-04-28, 02:54:14 (Hora local)	11
A.9.	Registros tiempo-historia, espectros de Fourier y de respuesta en las direcciones EO, NS y vertical de la estación INDEP. Sismo de Chuschi, Cangallo - Ayacucho del 2026-04-28, 02:54:14 (Hora local)	12
A.10.	Registros tiempo-historia, espectros de Fourier y de respuesta en las direcciones EO, NS y vertical de la estación AMORE. Sismo de Chuschi, Cangallo - Ayacucho del 2026-04-28, 02:54:14 (Hora local)	12



A.11.Registros tiempo-historia, espectros de Fourier y de respuesta en las direcciones EO, NS y vertical de la estación UNSCH. Sismo de Chuschi, Cangallo - Ayacucho del 2026-04-28, 02:54:14 (Hora local)	13
A.12.Registros tiempo-historia, espectros de Fourier y de respuesta en las direcciones EO, NS y vertical de la estación MDPP. Sismo de Chuschi, Cangallo - Ayacucho del 2026-04-28, 02:54:14 (Hora local)	13
A.13.Registros tiempo-historia, espectros de Fourier y de respuesta en las direcciones EO, NS y vertical de la estación BRIS2. Sismo de Chuschi, Cangallo - Ayacucho del 2026-04-28, 02:54:14 (Hora local)	14
A.14.Registros tiempo-historia, espectros de Fourier y de respuesta en las direcciones EO, NS y vertical de la estación SOVES. Sismo de Chuschi, Cangallo - Ayacucho del 2026-04-28, 02:54:14 (Hora local)	14
A.15.Registros tiempo-historia, espectros de Fourier y de respuesta en las direcciones EO, NS y vertical de la estación UCVAT. Sismo de Chuschi, Cangallo - Ayacucho del 2026-04-28, 02:54:14 (Hora local)	15
A.16.Registros tiempo-historia, espectros de Fourier y de respuesta en las direcciones EO, NS y vertical de la estación ATARJ. Sismo de Chuschi, Cangallo - Ayacucho del 2026-04-28, 02:54:14 (Hora local)	15
A.17.Registros tiempo-historia, espectros de Fourier y de respuesta en las direcciones EO, NS y vertical de la estación SOCHO. Sismo de Chuschi, Cangallo - Ayacucho del 2026-04-28, 02:54:14 (Hora local)	16
A.18.Registros tiempo-historia, espectros de Fourier y de respuesta en las direcciones EO, NS y vertical de la estación USILP. Sismo de Chuschi, Cangallo - Ayacucho del 2026-04-28, 02:54:14 (Hora local)	16
A.19.Registros tiempo-historia, espectros de Fourier y de respuesta en las direcciones EO, NS y vertical de la estación SERVI. Sismo de Chuschi, Cangallo - Ayacucho del 2026-04-28, 02:54:14 (Hora local)	17
A.20.Registros tiempo-historia, espectros de Fourier y de respuesta en las direcciones EO, NS y vertical de la estación IMCA. Sismo de Chuschi, Cangallo - Ayacucho del 2026-04-28, 02:54:14 (Hora local)	17
A.21.Registros tiempo-historia, espectros de Fourier y de respuesta en las direcciones EO, NS y vertical de la estación VHAYA. Sismo de Chuschi, Cangallo - Ayacucho del 2026-04-28, 02:54:14 (Hora local)	18
A.22.Registros tiempo-historia, espectros de Fourier y de respuesta en las direcciones EO, NS y vertical de la estación USMP. Sismo de Chuschi, Cangallo - Ayacucho del 2026-04-28, 02:54:14 (Hora local)	18
A.23.Registros tiempo-historia, espectros de Fourier y de respuesta en las direcciones EO, NS y vertical de la estación FICPE. Sismo de Chuschi, Cangallo - Ayacucho del 2026-04-28, 02:54:14 (Hora local)	19
A.24.Registros tiempo-historia, espectros de Fourier y de respuesta en las direcciones EO, NS y vertical de la estación UCSS. Sismo de Chuschi, Cangallo - Ayacucho del 2026-04-28, 02:54:14 (Hora local)	19
A.25.Registros tiempo-historia, espectros de Fourier y de respuesta en las direcciones EO, NS y vertical de la estación CARAL. Sismo de Chuschi, Cangallo - Ayacucho del 2026-04-28, 02:54:14 (Hora local)	20

Índice de tablas

- 1. Datos sísmicos (Fuente: IGP) 1
- 2. Aceleraciones máximas registradas en la(s) estación(es) acelerográfica(s) correspondiente(s) al sismo de Chuschi, Cangallo - Ayacucho del 28 de abril de 2026 a las 02:54:14 (hora local) 2